

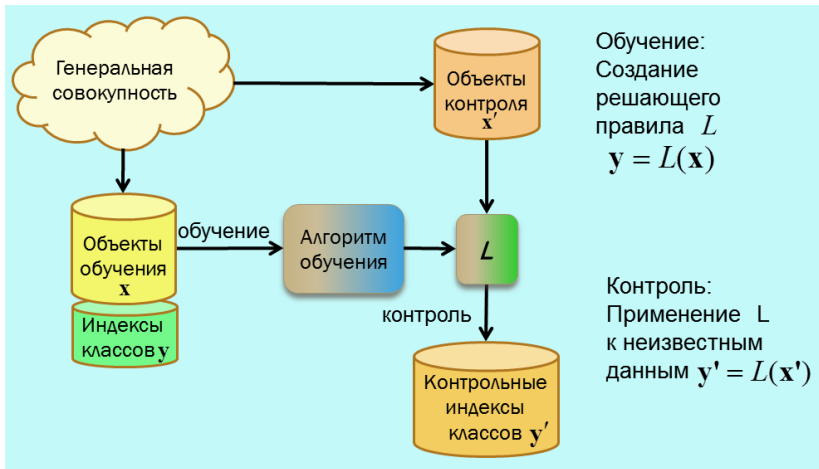
Отбор признаков в задаче классификации потоков данных при смещении решающего правила

О.В. Красоткина, П.А. Турков

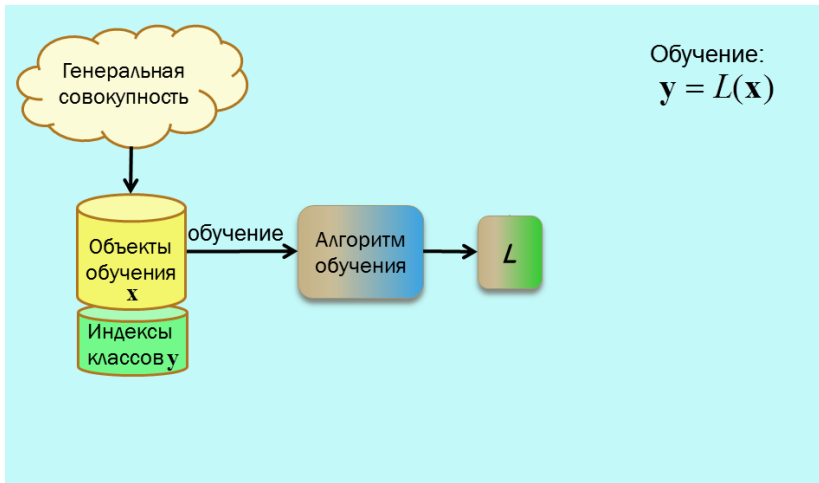
ФГБОУ ВО
Тульский государственный университет

17-я Всероссийская конференция
Математические методы распознавания образов
Светлогорск, 19 - 24 сентября 2015

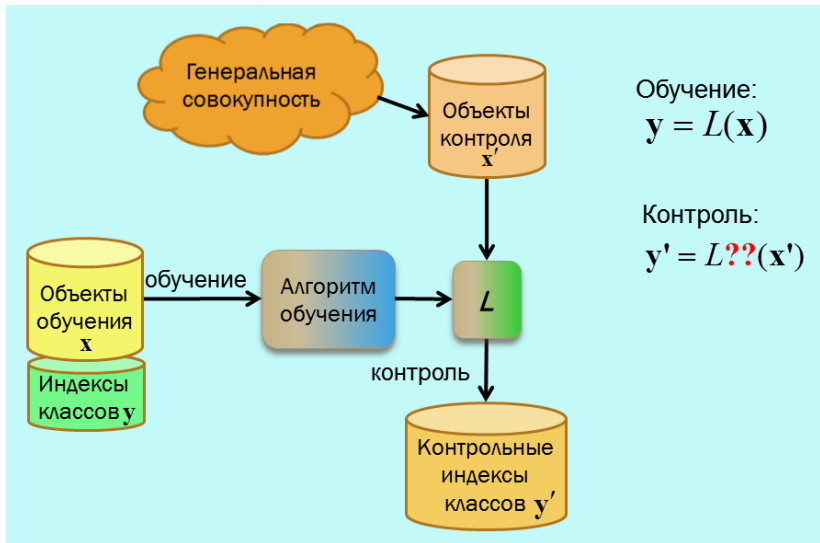
Классическая процедура обучения распознаванию образов



Процедура обучения распознаванию образов в потоках данных



Процедура обучения распознаванию образов в потоках данных

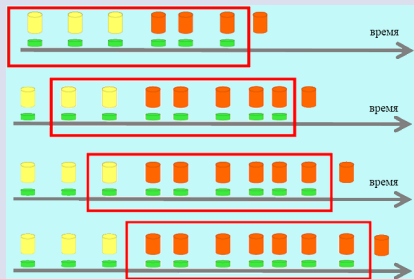


Обзор существующих методов обучения распознаванию

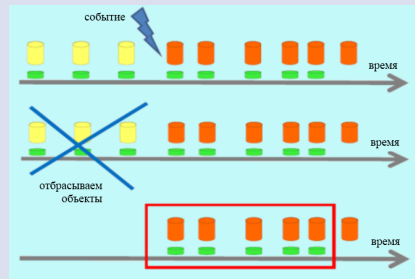
в потоках данных

Обучение с использованием одного классификатора

Окно постоянной длины (Widmer, Kubat, 1996)



Окно переменной длины (Patist, 2007)



где

объект



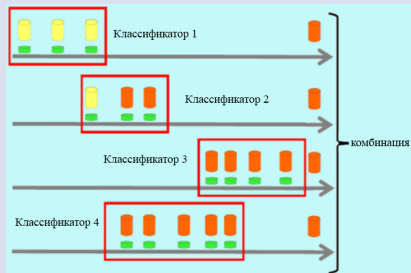
класс объекта



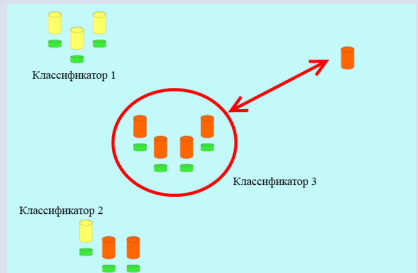
Обзор существующих методов обучения распознаванию в нестационарной генеральной совокупности

Обучение с использованием ансамблей классификаторов

Bagging & Boosting (Kolter, 2007)



Stacking (Street, 2001)



где

объект



класс объекта



Постановка задачи обучения распознаванию образов в нестационарной генеральной совокупности

Обучающее множество

- Пусть каждый объект генеральной совокупности $\omega \in \Omega$ представлен точкой в линейном признаковом пространстве $\mathbf{x}(\omega) = (x^1(\omega), \dots, x^n(\omega)) \in \mathbb{R}^n$, а его скрытая фактическая принадлежность к одному из двух классов описывается значением индекса класса $y(\omega) \in \{1, -1\}$.
- Наличие нестационарности в исследуемых данных требует рассмотрения дополнительно к признаковому описанию объекта момента времени его получения (ω, t) . В результате обучающее множество приобретает вид $\{(\mathbf{X}_t \in \mathbb{R}^n, \mathbf{Y}_t, t)\}_{t=1}^T$, $(\mathbf{X}_t, \mathbf{Y}_t) = \{(\mathbf{x}_{k,t}, y_{k,t})\}_{k=1}^{N_t}$ - подмножество объектов, поступивших в момент времени t .

Постановка задачи обучения распознаванию образов в нестационарной генеральной совокупности

Решающее правило

- Модель генеральной совокупности понимается как априори существующая дискриминантная функция, описываемая как гиперплоскость с направляющим (нормальным) вектором \mathbf{a} и параметром положения b :
 $f(\mathbf{x}(\omega)) = \mathbf{a}^T \mathbf{x} + b$ преимущественно > 0 если $y(\omega) = 1$, и < 0 если $y(\omega) = -1$.
- Наличие нестационарности в исследуемых данных требует рассмотрения параметров \mathbf{a} и b как функций времени:
 $\mathbf{a}_t : T \rightarrow \mathbb{R}^N$

Иерархическая вероятностная модель для оценивания параметров нестационарного решающего правила

Апостериорное распределение параметров нестационарного решающего правила:

$$P((\mathbf{a}_t, b_t)_{t=1}^T | (\mathbf{X}_t, \mathbf{Y}_t)_{t=1}^T) = \frac{\Psi(\mathbf{a}_t, b_t, t = \overline{2, T}) \prod_{t=1}^T \Phi(\mathbf{X}_t | \mathbf{Y}_t, \mathbf{a}_t, b_t)}{\int_{\mathbb{R}} \int_{\mathbb{R}^n} \Psi(\mathbf{a}'_t, b'_t, t = \overline{2, T}) \prod_{t=1}^T \Phi(\mathbf{X}_t | \mathbf{Y}_t, \mathbf{a}'_t, b'_t) d\mathbf{a}'_t db'_t}$$

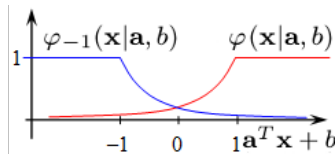
Оценка параметров по методу максимального правдоподобия приводит к следующему критерию обучения:

$$(\hat{\mathbf{a}}_t, \hat{b}_t)_{t=1}^T = \arg \max_{\mathbf{a}_t, b_t, t=1, \dots, T} P((\mathbf{a}_t, b_t)_{t=1}^T | (\mathbf{X}_t, \mathbf{Y}_t)_{t=1}^T)$$

Иерархическая вероятностная модель

Условное распределение объектов обучающей выборки

В качестве условных плотностей распределения объектов обучающей выборки возьмем следующие несобственные распределение:



$$\varphi_1(\mathbf{x}|\mathbf{a}_t, b_t) = \begin{cases} 1, & \mathbf{a}_t^T \mathbf{x} + b_t > 1, \\ \exp[-c(1 - (\mathbf{a}_t^T \mathbf{x} + b_t))] & , \mathbf{a}_t^T \mathbf{x} + b_t < 1, \end{cases}$$

$$\varphi_{-1}(\mathbf{x}|\mathbf{a}_t, b_t) = \begin{cases} 1, & \mathbf{a}_t^T \mathbf{x} + b_t < -1, \\ \exp[-c(1 + (\mathbf{a}_t^T \mathbf{x} + b_t))] & , (\mathbf{a}_t^T \mathbf{x} + b_t) > -1. \end{cases}$$

- Несобственные плотности распределений объектов генеральной совокупности $y_{j,t} = \pm 1$:

$$\begin{aligned} f(\mathbf{x}_{j,t} | y_{j,t}, \mathbf{a}_t, b_t) &= \\ &= \begin{cases} 1, & y_{j,t}(\mathbf{a}_t^T \mathbf{x}_{j,t} + b_t) > 1, \\ \exp[-c(1 - y_{j,t}(\mathbf{a}_t^T \mathbf{x}_{j,t} + b_t))] & , y_{j,t}(\mathbf{a}_t^T \mathbf{x}_{j,t} + b_t) < 1, \end{cases} \end{aligned}$$

- Совместная плотность распределения объектов обучающей выборки $\mathbf{X}_t, \mathbf{Y}_t$ в момент времени t :

$$\Phi(\mathbf{X}_t | \mathbf{Y}_t, \mathbf{a}_t, b_t) = \prod_{j=1}^{N_t} f(y_{j,t} | \mathbf{x}_{j,t}, \mathbf{a}_t, b_t).$$

- Ключевым элементом является понимание зависящих от времени параметров гиперплоскости (\mathbf{a}_t, b_t) как скрытых случайных процессов с марковскими свойствами:

$$\begin{aligned}\mathbf{a}_t &= q\mathbf{a}_{t-1} + \boldsymbol{\xi}_t, M(\boldsymbol{\xi}_t) = \mathbf{0}, M(\boldsymbol{\xi}_t\boldsymbol{\xi}_t^T) = d\mathbf{I}, \\ b_t &= b_{t-1} + \nu_t, M(\nu_t) = 0, M(\nu_t^2) = d', q = \sqrt{1-d}, 0 \leq q < 1\end{aligned}$$

Дисперсии d и d' описывают скрытую динамику смещения решающего правила.

- Априорная плотность распределения последовательности параметров решающего правила:

$$\Psi(\mathbf{a}_t, b_t, t = 2, \dots, T) = \prod_{t=2}^T \left[\mathcal{N}(\mathbf{a}_t | \sqrt{1-d}\mathbf{a}_{t-1}, d\mathbf{I}) \mathcal{N}(b_t | b_{t-1}, d') \right]$$

Методы-фильтры

Фильтры применяются на множестве всех признаков до восстановления зависимости, независимо от используемого метода восстановления. Как правило используются различные переборные стратегии. Метод отбора признаков не учитывает особенности искомой зависимости и используемых для ее восстановления алгоритмов.

Встроенные методы

Встроенные методы отбора признаков непосредственно инкорпорируются в метод решения задачи и, следовательно, существенно зависят от его специфики. Окончание процесса обучения одновременно является окончанием процесса отбора признаков.

Для наделения нашей нестационарной модели способностью к отбору признаков, введем в модель нестационарного решающего правила еще один уровень иерархии, рассматривая дисперсии параметров направляющего вектора как случайные

$$\psi(a_{t,j}|r_j, a_{t-1,j}) = \frac{1}{\sqrt{2\pi r_j d}} \exp(-(a_{t,j} - \sqrt{1-d}a_{t-1,j})^2/2r_j d)$$

В качестве распределения для величин, обратных дисперсиям, используем гамма-распределение:

$$\gamma(1/r_i|\alpha, 1/\beta) = \frac{\beta^\alpha}{\Gamma(\alpha)} \cdot \left(\frac{1}{r_i}\right)^{\alpha-1} \cdot \exp\left(-\frac{\beta}{r_i}\right)$$

Для упрощения процедуры подбора параметров используем вместо двух параметров α и β один - μ . Выбор значения этого параметра обусловлен следующими условиями:

$$\mu \rightarrow 0 \Rightarrow \begin{cases} E(1/r_i) \rightarrow 1 \\ \text{Var}(1/r_i) \rightarrow 0 \\ (\sqrt{\text{Var}(1/r_i)}/E(1/r_i)) \rightarrow 0 \end{cases}$$
$$\mu \rightarrow \infty \Rightarrow \begin{cases} E(1/r_i) \rightarrow \infty \\ \text{Var}(1/r_i) \rightarrow \infty \\ (\sqrt{\text{Var}(1/r_i)}/E(1/r_i)) \rightarrow 1 \end{cases}$$

Одним из вариантов, удовлетворяющим этим условиям, является следующий: $\alpha = (1 + \mu)^2/2\mu, \beta = 1/2\mu$

$$\begin{aligned}
 & \left(\hat{\mathbf{a}}_t, \hat{b}_t, \hat{\mathbf{r}}, \hat{\delta}_t | (\mathbf{x}_j, y_j), \mu, j = 1, \dots, N_t, t = 1, \dots, T \right) = \\
 & \arg \max_{\hat{\mathbf{a}}_t, \hat{b}_t, \mathbf{r}} \left[- \sum_{t=1}^T \sum_{i=1}^n a_{t,i}^2 / r_i - C \sum_{t=1}^T \sum_{i=1}^{N_t} \delta_{t,j} - \right. \\
 & \quad - \frac{1}{2} \sum_{i=1}^n \log r_i - \left(\frac{(1 + \mu)^2}{2\mu} - 1 \right) \sum_{i=1}^n \log r_i - \frac{1}{2\mu} \sum_{i=1}^n \frac{1}{r_i} - \\
 & \quad \left. - \frac{1}{2d} \sum_{t=2}^T (\mathbf{a}_t - \sqrt{1-d} \mathbf{a}_{t-1})^T (\mathbf{a}_t - \sqrt{1-d} \mathbf{a}_{t-1}) - \frac{1}{2d'} \sum_{t=2}^T (b_t - b_{t-1})^2 \right]
 \end{aligned}$$

при ограничениях

$$\begin{aligned}
 1 - y_{t,j} (\mathbf{a}_t^T \mathbf{x}_{t,j} + b_t) &< \delta_{t,j}, \\
 \delta_{t,j} &> 0, j = 1, \dots, N_t, t = 1, \dots, T
 \end{aligned}$$

Оценка параметров решающего правила

Для оптимизации критерия воспользуемся методом покоординатного спуска по двум группам переменных \mathbf{r} и $\mathbf{a}_t, b_t, t = 1 \dots N$

При зафиксированных дисперсиях \mathbf{r} на каждом шаге получаем следующую задачу оптимизации для оценивания нестационарного направляющего вектора и порога

$$\frac{1}{2d} \sum_{t=2}^T (\mathbf{a}_t - \sqrt{1-d} \mathbf{a}_{t-1})^T (\mathbf{a}_t - \sqrt{1-d} \mathbf{a}_{t-1}) + \frac{1}{2d'} \sum_{t=2}^T (b_t - b_{t-1})^2 + \sum_{t=1}^T \sum_{i=1}^n \frac{a_{t,i}^2}{r_i} + C \sum_{t=1}^T \sum_{j=1}^{N_t} \delta_{t,j} \rightarrow \min_{\mathbf{a}_t, b_t, \delta_{t,j}, t=1, \dots, T}$$

с ограничениями

$$1 - y_{t,j} (\mathbf{a}_t^T \mathbf{x}_{t,j} + b_t) < \delta_{t,j},$$

$$\delta_{t,j} > 0, j = 1, \dots, N_t, t = 1, \dots, T$$

При зафиксированных параметрах решающего правила на каждом шаге дисперсии коэффициентов можно найти по формуле

$$r_i = \frac{\sum_{t=1}^T a_{t,i}^2 + \frac{1}{2\mu}}{(1 + \mu)^2 / 2\mu - 1/2}$$

- Использовалось множество данных, описывающее электронные письма, из репозитория UCI.
<https://archive.ics.uci.edu/ml/datasets/Spambase>
- Всего представлено 4601 письмо, характеризуемых 58 признаками, упорядоченные по времени их получения.
- Данные классифицированы как "спам" и "не-спам".
"Спам" составляет 39.4% (1813 объектов) всего множества.
- Для обучения использовались первые 3600 объектов.
Контрольное множество составляли оставшийся 1001 объект.
- Для сравнения получаемых результатов использовалось несколько алгоритмов из состава программного пакета Massive Online Analysis (A. Bifet, G. Holmes, R. Kirkby, B. Pfahringer MOA: Massive Online Analysis
<http://sourceforge.net/projects/moa-datastream/> // Journal of Machine Learning Research (JMLR), 2010). Параметры алгоритмов подбирались на контрольном множестве.

Алгоритм	Доля ошибочно классифицированных объектов к их общему числу, %
<i>OzaBagASHT</i>	22,278
<i>OzaBagAdwin</i>	20,879
<i>SingleClassifierDrift</i>	39.361
<i>AdaHoeffdingOptionTree</i>	23.876
<i>LimAttClassifier</i>	29,271
<i>ApproxSVM</i>	14,785

- Каждый момент времени двумя нормальными двумерными распределениями с математическими ожиданиями 1 и -1, соответственно, генерируется по 10 объектов каждого класса
- К каждому объекту добавляется еще 98 шумовых признаков;
- В каждый момент времени центры генерирующих распределений поворачиваются на 0.0314 радиана.

Алгоритм	θ
<i>OzaBagASHT</i>	11.16
<i>OzaBagAdwin</i>	12.45
<i>SingleClassifierDrift</i>	17.81
<i>AdaHoeffdingOptionTree</i>	7.22
<i>LimAttClassifier</i>	8.75
<i>ApproxSVM</i>	5.7

$$\theta = \frac{\min[|\hat{a}|_1, |\hat{a}|_2]}{\max[|\hat{a}|_3, |\hat{a}|_{100}]}$$

Алгоритм	θ
<i>OzaBagASHT</i>	3.82
<i>OzaBagAdwin</i>	2.42
<i>SingleClassifierDrift</i>	1.32
<i>AdaHoeffdingOptionTree</i>	1.12
<i>LimAttClassifier</i>	1.81
<i>ApproxSVM</i>	455.56